



• Corso di Percezione Robotica

C. Modulo di Percezione Attiva

Visione robotica

Eliseo Stefano Maini

ARTS Lab, Scuola Superiore Sant'Anna

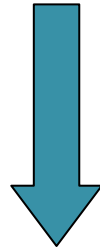
es.maini@ieee.org

s.maini@arts.sssup.it

050-883486

Rappresentazione delle immagini

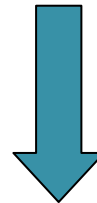
Rappresentazione dell'immagine



Rappresentazione singoli punti

Immagini a colori,
livelli di grigio
Immagini pre-elaborate

Rappresentazione del contenuto dell'immagine



Rappresentazione degli oggetti estratti dall'immagine

Rappresentazione di bordi, regioni, forme, proprietà...

Rappresentazione del contenuto della scena rappresentata da un'immagine



Rappresentazione di oggetti nella scena

Rappresentazione di scena 3D, oggetti visuali 2D e 3D, oggetti reali 3D, azioni ...



Sommario della lezione

- Segmentazione dell'immagine
 - Descrizione dei contorni mediante codici a catena
 - Segmentation by fitting a model
 - Trasformata di Hough
 - Metodo ai minimi quadrati
- Visione stereoscopica
 - Fondamenti di 3D computer vision
 - Calibrazione telecamera
 - Calibrazione sistemi stereo e ricostruzione



Descrittori dei contorni – codici a catena

- Sono utilizzati per rappresentare un contorno come un insieme di segmenti di lunghezza e direzioni note
 - La lunghezza del segmento è data dalla dimensione della griglia
 - La direzione corrisponde al codice scelto
- Solitamente si usano segmenti 4-connessi o 8-connessi
- Per ridurre effetti di scala si scelgono dimensioni della griglia maggiori rispetto al singolo pixel



Normalizzazione punto di partenza

- **Il codice dipende dal punto di partenza**

Risoluzione:

Tratto il codice come una sequenza circolare di codici numerici della direzione e ridefinisco il punto di partenza in modo tale che la sequenza dei numeri risultanti definisca un intero di grandezza minima



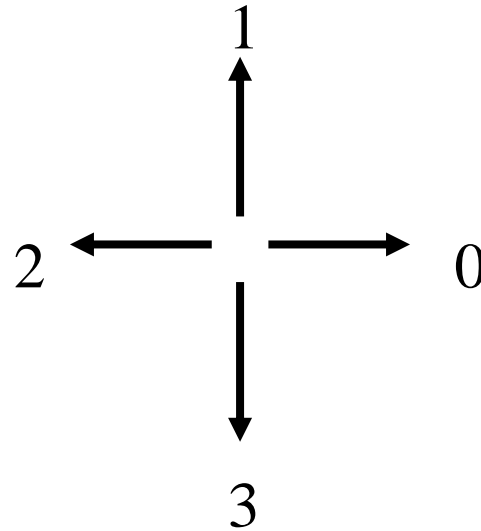
Normalizzazione rispetto alle rotazioni

- **Il codice dipende dall'orientamento del contorno**

Risoluzione

- Invece di utilizzare il codice utilizzo la differenza del codice a catena contando in senso antiorario il numero delle direzioni che separano due elementi adiacenti
- Se tratto il codice come una sequenza circolare allora il primo elemento della differenza viene calcolato utilizzando la differenza tra il primo e l'ultimo elemento della catena

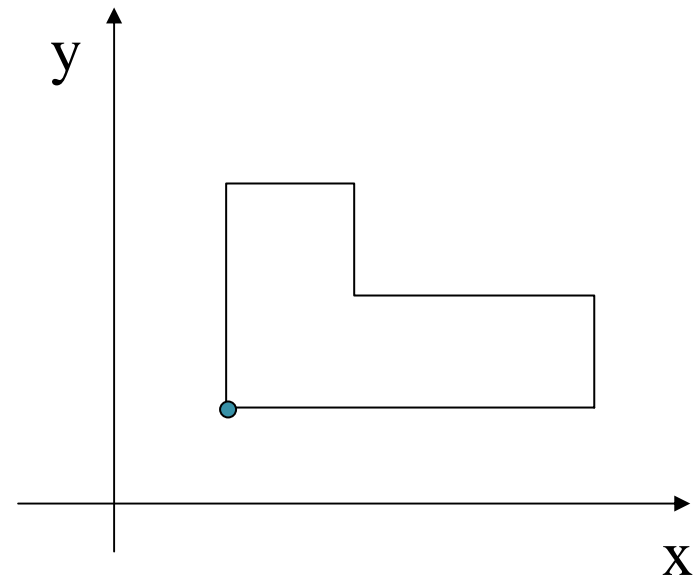
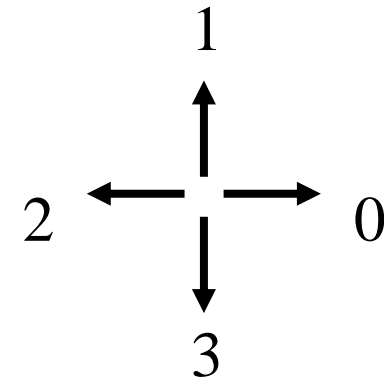
Esempio di normalizzazione delle rotazioni

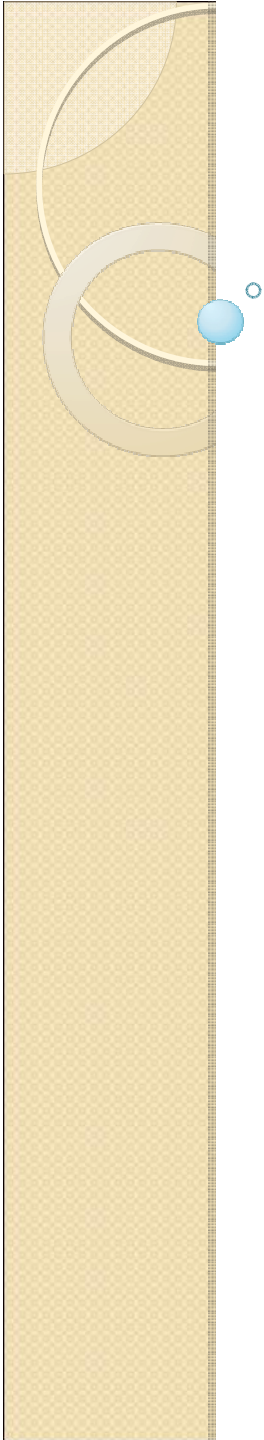


- Chain code : 1 0 1 0 3 3 2 2
- Differenza : 3 1 3 3 0 3 0
- Circolare : 3 3 1 3 3 0 3 0

Calcolo dell'area con i codici a catena

1. $Area=0;$
2. $y=0;$
3. per ogni elemento del codice a catena
4. case direzione
 - 0: $area+=y;$
 - 1: $y++;$
 - 2: $area-=y;$
 - 3: $y--;$





Segmentation by fitting a model



Segmentation by fitting a model

- Clustering voting techniques
 - Esempio della trasformata di Hough
- Least-squares methods
 - Esempio algoritmo di fitting di ellissi



Trasformata di Hough

- E' una tecnica che permette di riconoscere particolari configurazioni di punti presenti nell'immagine, come segmenti, curve o altre forme prefissate.
- E' un tipico *operatore globale*.
- Il principio fondamentale è che la forma cercata può essere espressa tramite una funzione nota che fa uso di un insieme di parametri.
- Una particolare istanza della forma cercata è quindi completamente precisata dal valore assunto dall'insieme di parametri.



Trasformata di Hough – Caso della retta

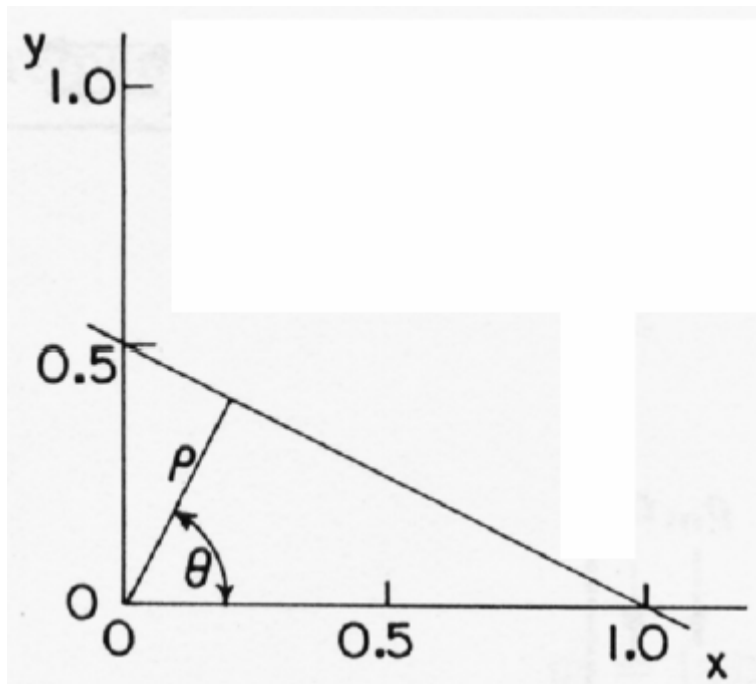
- Per esempio, assumendo come rappresentazione della retta la forma:

$$y=ax+b$$

- qualunque retta è completamente specificata dal valore dei parametri (a,b).

 - Se si assume un tipo di rappresentazione diversa, quale la forma normale di Hesse
- $$\rho = x \cos \vartheta + y \sin \vartheta$$
- la retta è completamente specificata dalla coppia (ρ, ϑ) .

Esempio



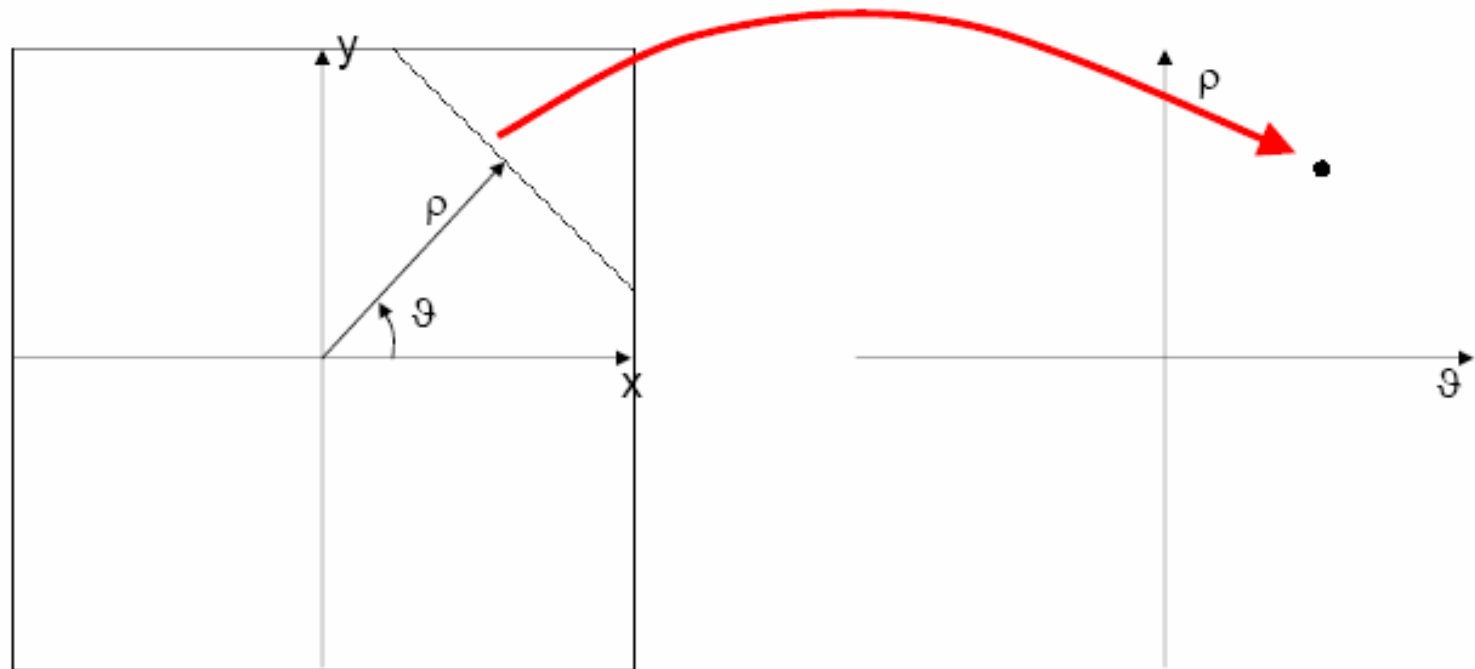
- La retta in figura è identificata dalla coppia:

$$(a,b)=(-0.5,0.5)$$

- o dalla coppia:

$$(\rho, \vartheta)=(0.447, 1.107)$$

Il piano trasformato



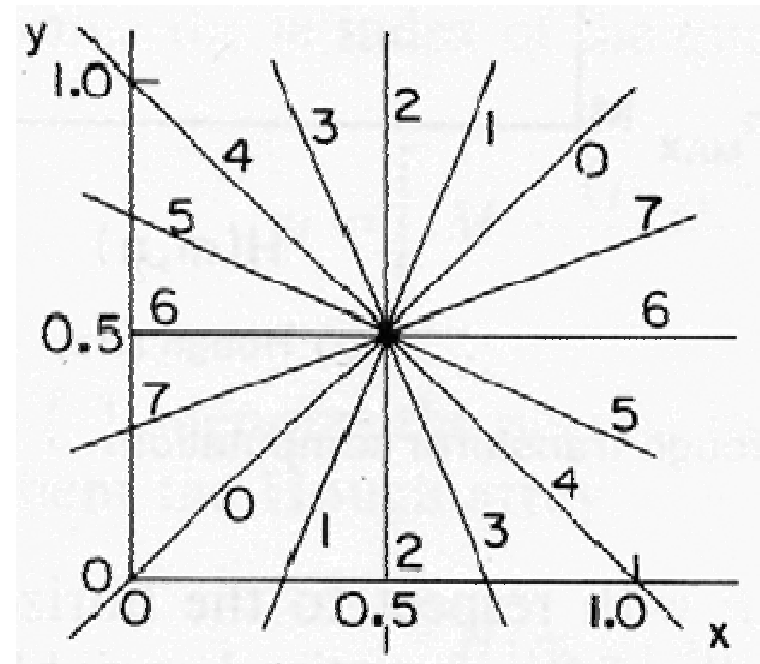


Domande

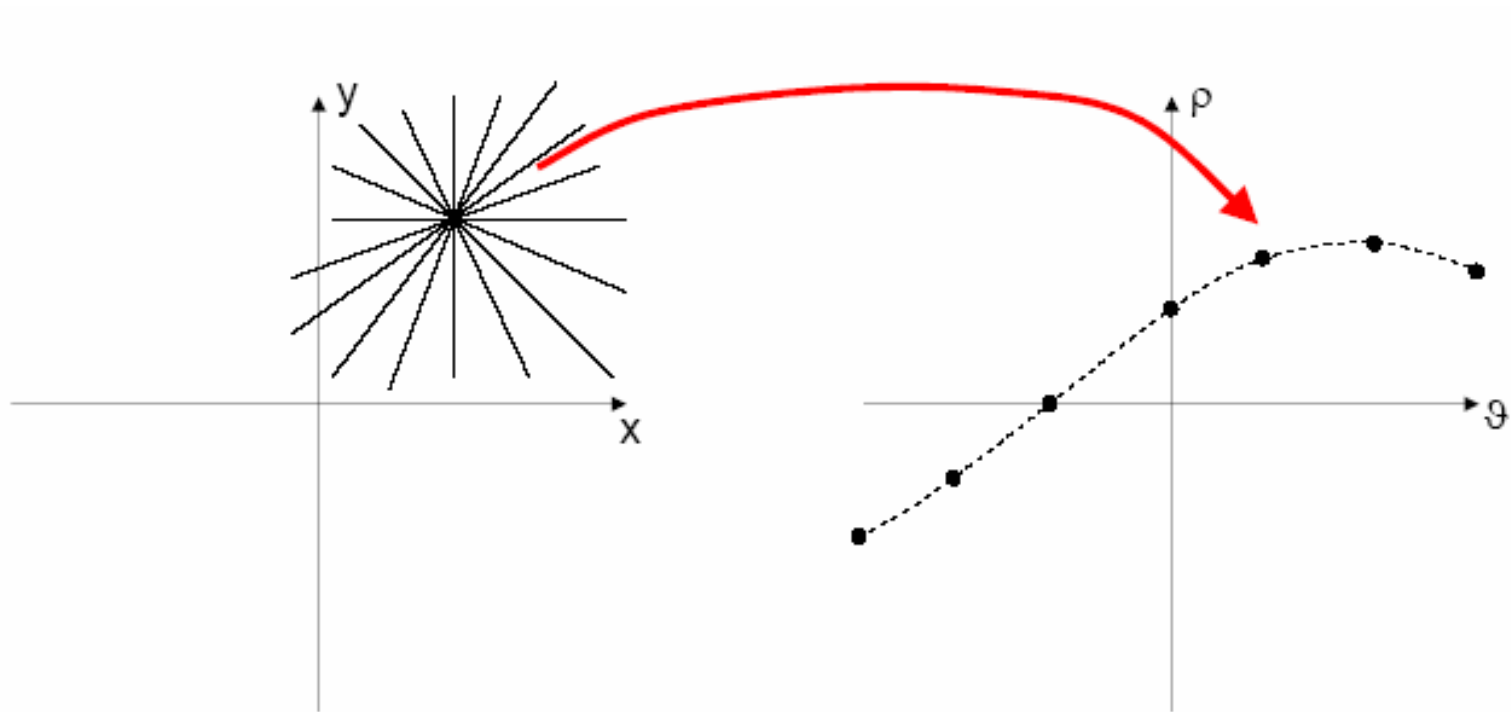
- Nell'immagine in analisi, l'unica informazione disponibile è costituita dall'insieme di punti che appartiene al foreground.
 1. Come poter sfruttare questa trasformata ai fini della individuazione di segmenti in un'immagine ?
 2. Qual è la trasformata di un punto nell'immagine ?

Trasformata di un punto

- Nel piano dell'immagine, un punto è identificato dall'intersezione di più rette.
- Quindi, ad ogni punto P corrisponde, nel piano dei parametri, la curva formata dai punti immagine delle rette passanti per P.



Trasformata del punto



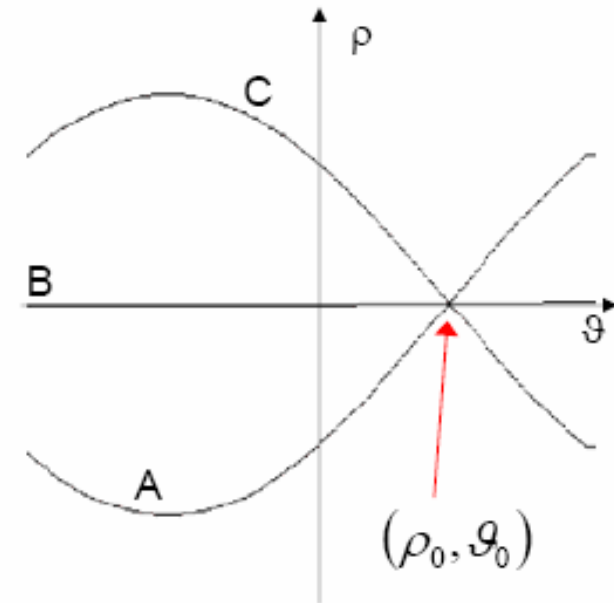
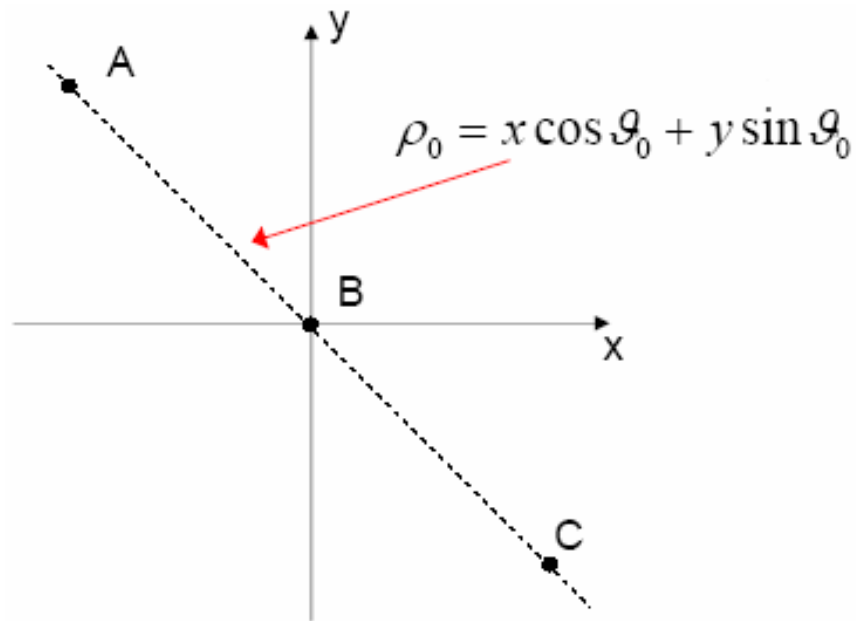


Domanda

- Che cosa succede se nell'immagine ci sono dei punti allineati su una stessa retta ?

- Sul piano dei parametri, le curve che corrispondono alle trasformazioni dei vari punti si intersecano in un punto del piano trasformato che è l'immagine della retta su cui giacciono i punti.

Individuazione della retta sul piano trasformato





Implementazione trasformata di Hough – caso della retta

- Si consideri una discretizzazione del piano dei parametri (ρ, ϑ) .
- Ciò permette di rappresentare tale piano su una matrice $H(m,n)$ i cui indici di riga e di colonna corrispondono ai valori quantizzati di ρ e ϑ .
- Gli intervalli di variazione di ρ e ϑ sono fissati sulla base delle caratteristiche dell'immagine originale.
 - Tipicamente $-\rho_{\max} \leq \rho \leq \rho_{\max}$, $-\pi/2 \leq \vartheta \leq \pi/2$,
 - dove $\rho_{\max} = 0.5 * (\mathbf{NR}^2 + \mathbf{NC}^2)^{1/2}$ e $(\mathbf{NR}, \mathbf{NC})$ sono le dimensioni dell'immagine originale.
 - Il numero dei livelli di quantizzazione va poi scelto in base all'accuratezza desiderata.
 - Una scelta quasi sempre soddisfacente è $\max(\mathbf{NR}, \mathbf{NC})$.

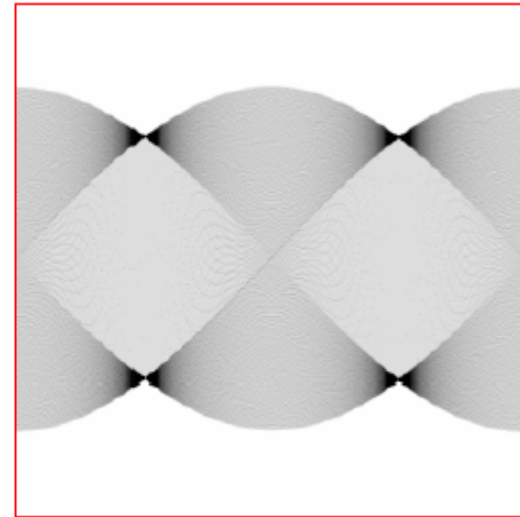
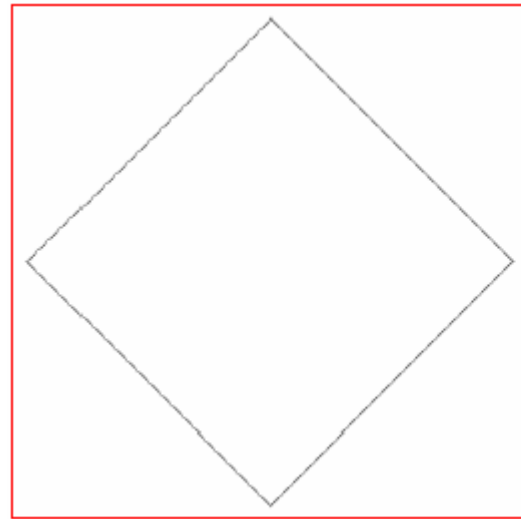


Algoritmo

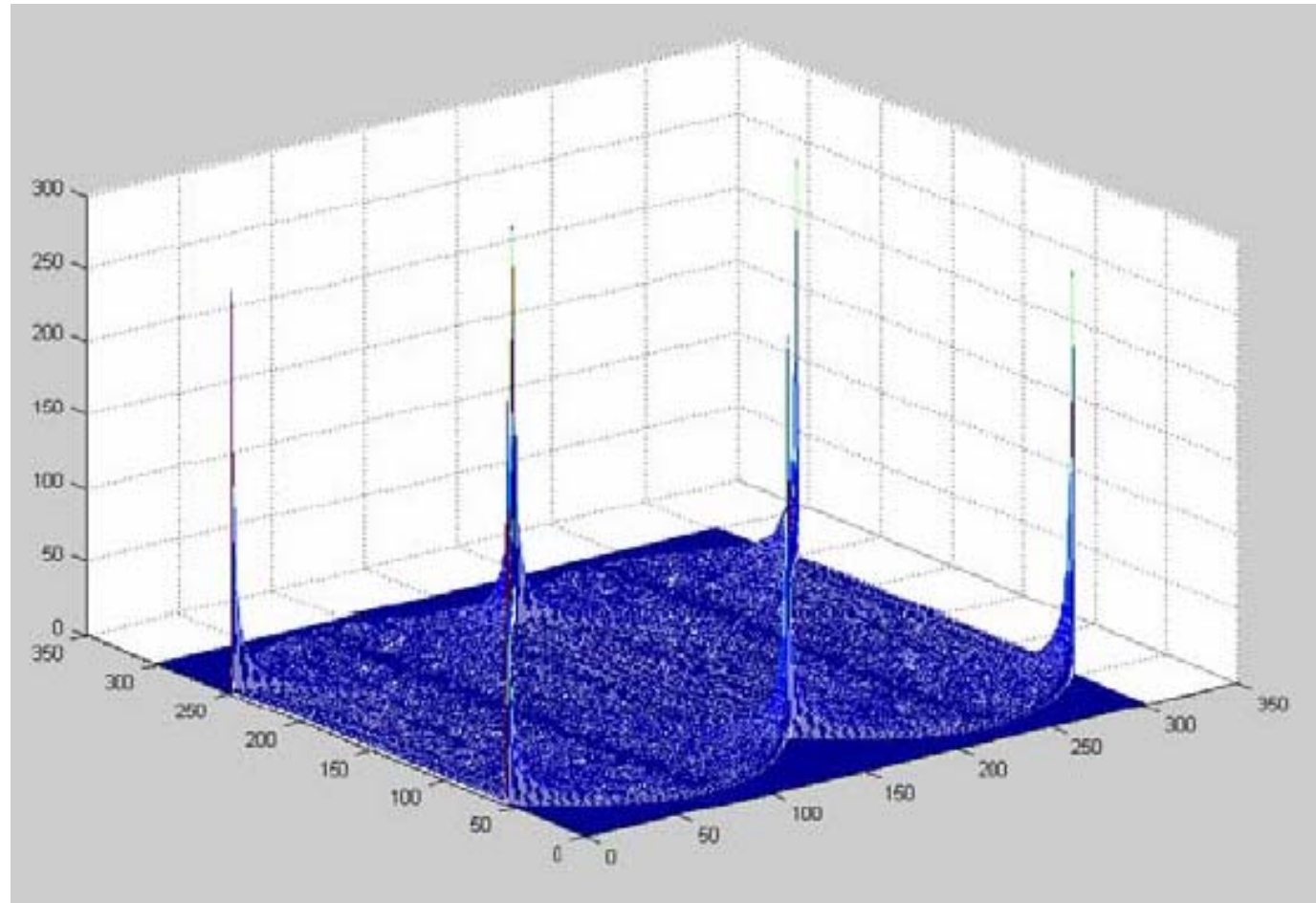
1. Si azzeri la matrice $H(.,.)$;
2. Per ogni punto $P \in F$, $P=(x,y)$
 1. per ϑ_n che varia tra $-\pi/2$ e $\pi/2$ con passo $d\vartheta$
 1. si valuta $\rho(n)=x*\cos(\vartheta_n)+y*\sin(\vartheta_n)$
 2. si ricava l'indice m corrispondente a $\rho(n)$
 3. si incrementi $H(m,n)$
 2. end
3. End

4. Si individuino i massimi locali su $H(.,.)$ corrispondenti ai parametri dei segmenti individuati

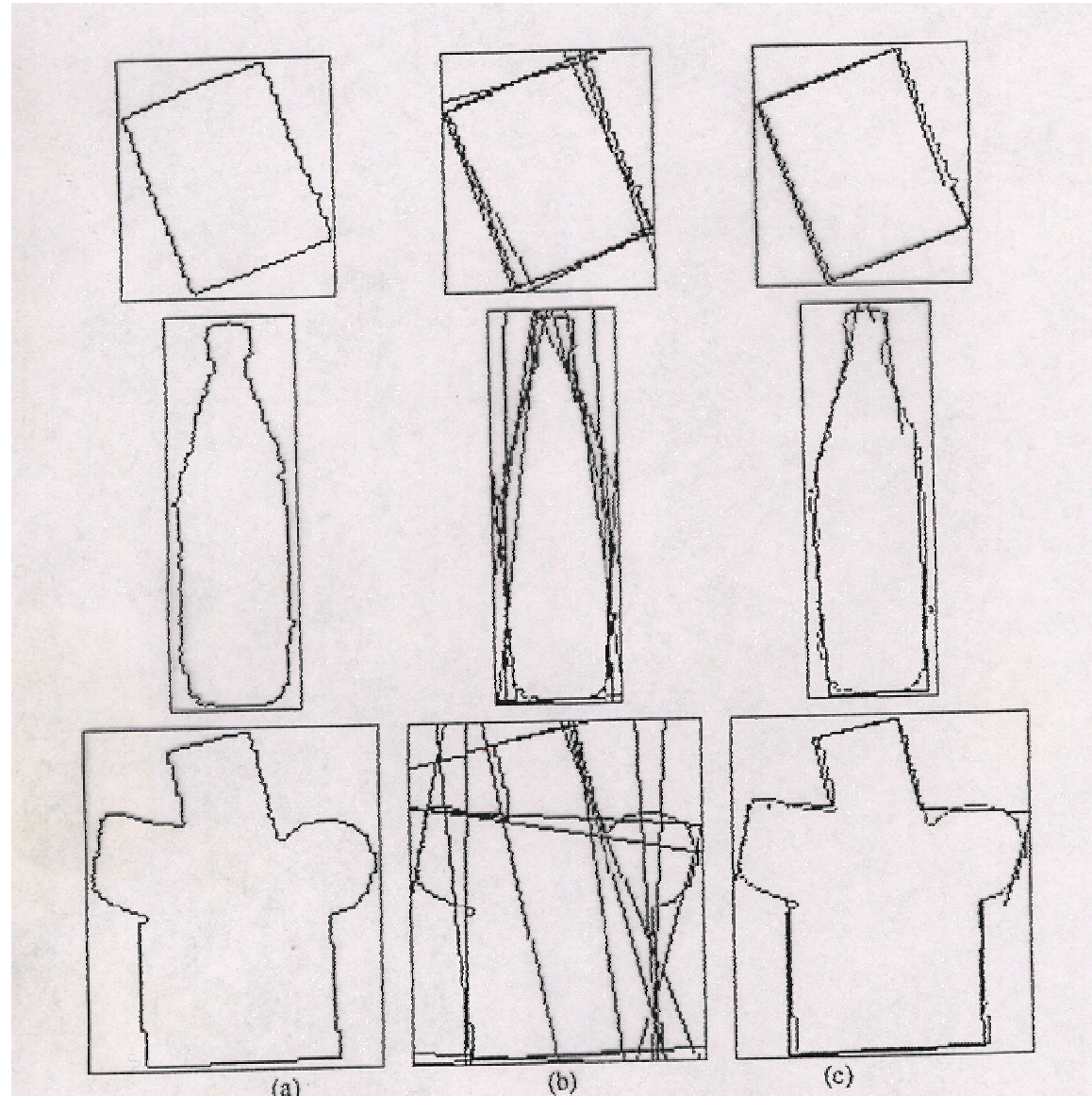
Esempio: figura piana



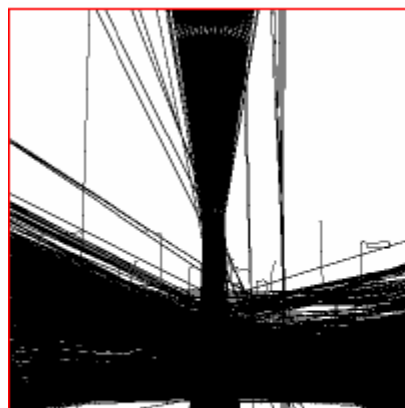
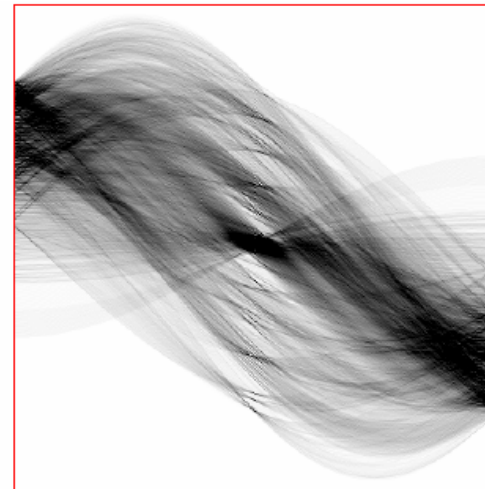
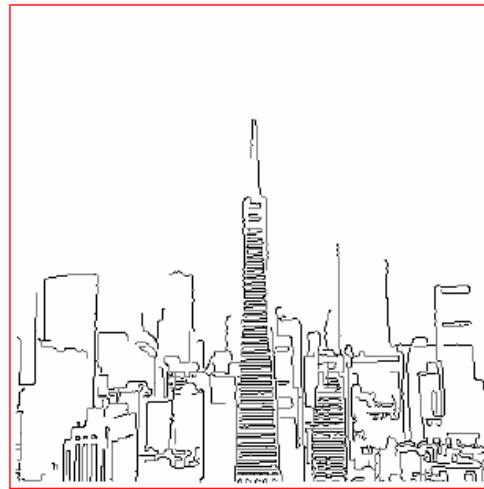
Esempio: matrice accumulazione



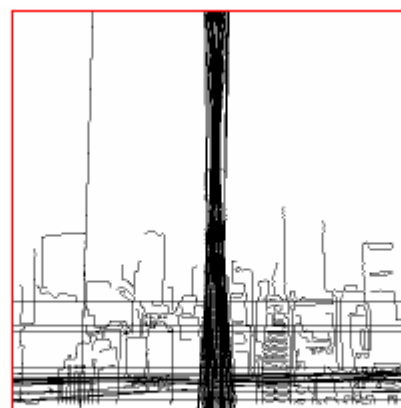
Il problema della soglia



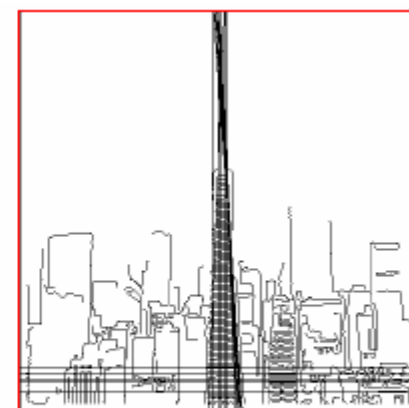
Sogliatura immagini reali



Soglia: 101



Soglia: 140

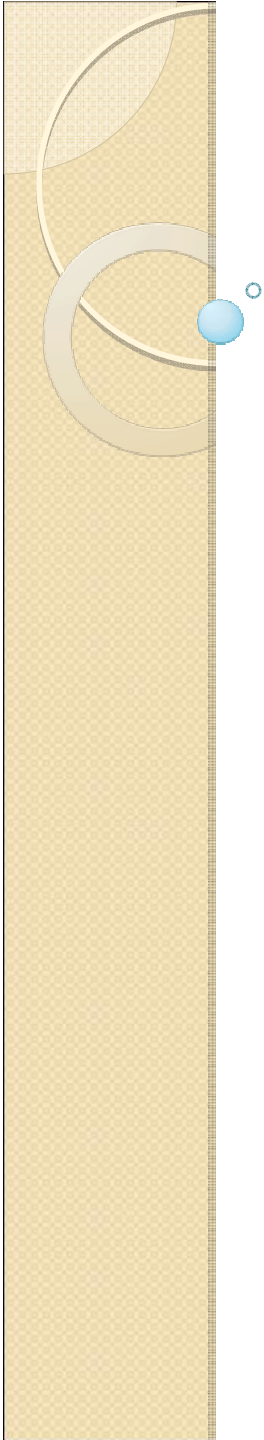


Soglia: 160



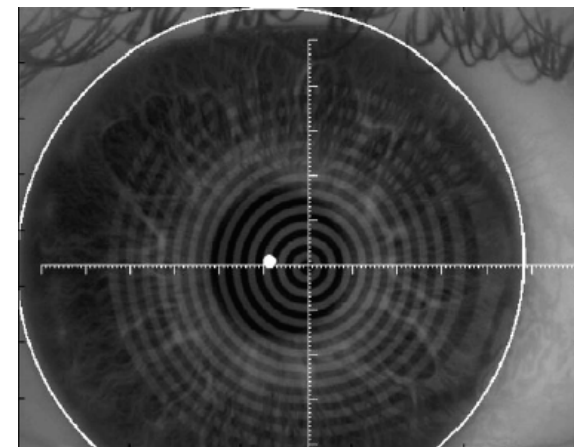
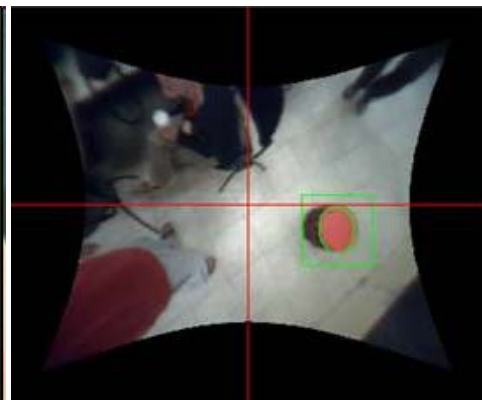
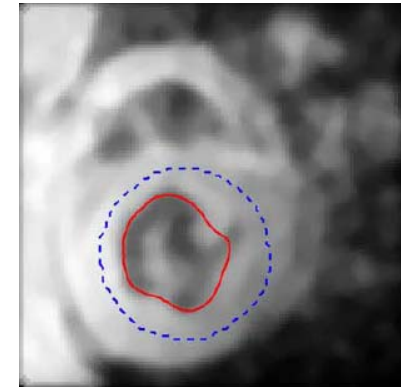
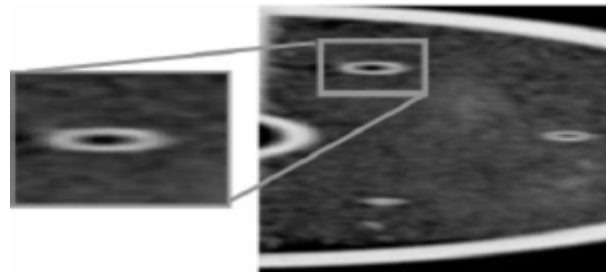
Conclusioni

- E' possibile – **ma molto oneroso** - utilizzare la trasformata di Hough per individuare cerchi, tenendo conto dell'equazione $(x-a)^2+(y-b)^2=c^2$
 - In questo caso è possibile lavorare su:
 - un piano dei parametri (a,b), fissando il raggio c dei cerchi da individuare
 - uno spazio dei parametri (a,b,c), facendo variare c in un intervallo finito.
- E' stata inoltre proposta (Ballard) una generalizzazione della trasformata di Hough che permette di individuare oggetti di forma qualunque.
- **Non è adatta a applicazioni real-time**



Geometric Fitting ai minimi quadrati

Fitting di curve ellittiche



Formalizzazione del problema

$$F(x, y) = ax^2 + bxy + cy^2 + dx + ey + f = 0$$

$$\mathbf{a} = [a, b, c, d, e, f]^T$$

$$\mathbf{x} = [x^2, xy, y^2, x, y, 1]$$

$$F_{\mathbf{a}}(\mathbf{x}) = \mathbf{x} \cdot \mathbf{a} = 0$$

Least Square Fitting

Opera minimizzando la somma dei quadrati di *un opportuno termine di errore* e_i , valutato in ciascun punto dell'insieme dato

$$T = \{(x_i, y_i) : i = 1 \dots N\}$$

$$\min_{\mathbf{a}} \left(\sum_{i=1}^N e_i^2 \right)$$



Identificazione funzione di errore

- **Distanza euclidea** dei punti dalla curva teorica
 - Risoluzione di un'equazione quartica
 - Per ogni soluzione calcolare la distanza minima
- Approssimare con misure più semplici la distanza euclidea
 - Distanza algebrica
 - Distanza algebrica pesata dal gradiente
 - etc

Equazione del vincolo

$$T = \{(x_i, y_i) : i = 1 \dots N\}$$

Algebraic distance $E(\mathbf{a}; \mathbf{p}_i)$

$$\min_{\mathbf{a}} \left(\sum_{i=1}^N E(\mathbf{a}; \mathbf{p}_i) \right) = \min_{\mathbf{a}} \left(\sum_{i=1}^N (\mathbf{p}_i \cdot \mathbf{a})^2 \right)$$

Introdurre un vincolo per evitare la soluzione triviale

(es. $\|\mathbf{a}\|^2 = 1$ oppure $a + c = 1$ o anche $f = 1$)

Se vogliamo trovare solo curve ellittiche il vincolo deve essere

$$b^2 - 4ac < 0$$

$$\begin{array}{l} \forall \alpha \neq 0 \quad \text{if} \quad F_{\mathbf{a}}(\mathbf{x}) = \mathbf{x} \cdot \mathbf{a} = 0 \quad \Rightarrow \quad \alpha \cdot F_{\mathbf{a}}(\mathbf{x}) = \alpha \cdot \mathbf{x} \cdot \mathbf{a} = 0 \\ \text{therefore} \quad \exists \tilde{\alpha} \quad \text{such that} \quad 4ac - b^2 = 1 \end{array}$$

Risoluzione

$$\min_{\mathbf{a}} \left(\sum_{i=1}^N E(\mathbf{a}; \mathbf{p}_i) \right) = \min_{\mathbf{a}} \left(\sum_{i=1}^N (\mathbf{p}_i \cdot \mathbf{a})^2 \right)$$
$$4ac - b^2 = 1$$

Design matrix

$$\mathbf{D} = \begin{pmatrix} x_1^2 & x_1 y_1 & y_1^2 & x_1 & y_1 & 1 \\ x_2^2 & x_2 y_2 & y_2^2 & x_2 & y_2 & 1 \\ \cdot & \cdot & \cdot & \cdot & \cdot & \cdot \\ x_N^2 & x_N y_N & y_N^2 & x_N & y_N & 1 \end{pmatrix}$$

Scatter matrix

$$\mathbf{S} = \mathbf{D}^T \mathbf{D}$$

Constraint matrix

$$\mathbf{C} = \begin{pmatrix} 0 & 0 & 2 & 0 & 0 & 0 \\ 0 & -1 & 0 & 0 & 0 & 0 \\ 2 & 0 & 0 & 0 & 0 & 0 \\ 0 & 0 & 0 & 0 & 0 & 0 \\ 0 & 0 & 0 & 0 & 0 & 0 \\ 0 & 0 & 0 & 0 & 0 & 0 \end{pmatrix}$$

$$\begin{cases} \mathbf{S}\mathbf{a} = \lambda \mathbf{C}\mathbf{a} \\ \mathbf{a}^T \mathbf{C}\mathbf{a} = 1 \end{cases}$$

TEOREMA La soluzione del problema vincolato precedente ammette esattamente una soluzione ellittica corrispondente all'unico autovalore positivo del problema di autovalori generalizzato

Attenzione al condizionamento di S

Re-centering and scaling

$$\mathbf{S} = \mathbf{D}^T \mathbf{D} =$$

$$\begin{array}{cccccc}
 \sum_{i=1}^N x_i^4 & \sum_{i=1}^N x_i^3 y_i & \sum_{i=1}^N x_i^2 y_i^2 & \sum_{i=1}^N x_i^3 & \sum_{i=1}^N x_i^2 y_i & \sum_{i=1}^N x_i^2 \\
 \sum_{i=1}^N x_i^3 y_i & \sum_{i=1}^N x_i^2 y_i^2 & \sum_{i=1}^N x_i^3 y_i & \sum_{i=1}^N x_i^2 y_i & \sum_{i=1}^N x_i y_i^2 & \sum_{i=1}^N x_i y_i \\
 \sum_{i=1}^N x_i^2 y_i^2 & \sum_{i=1}^N x_i^3 y_i & \sum_{i=1}^N y_i^4 & \sum_{i=1}^N x_i y_i^2 & \sum_{i=1}^N y_i^3 & \sum_{i=1}^N y_i^2 \\
 \sum_{i=1}^N x_i^3 & \sum_{i=1}^N x_i^2 y_i & \sum_{i=1}^N x_i y_i^2 & \sum_{i=1}^N x_i^2 & \sum_{i=1}^N x_i y_i & \sum_{i=1}^N x_i \\
 \sum_{i=1}^N x_i^2 y_i & \sum_{i=1}^N x_i y_i^2 & \sum_{i=1}^N y_i^3 & \sum_{i=1}^N x_i y_i & \sum_{i=1}^N y_i^2 & \sum_{i=1}^N y_i \\
 \sum_{i=1}^N x_i^2 & \sum_{i=1}^N x_i y_i & \sum_{i=1}^N y_i^2 & \sum_{i=1}^N x_i & \sum_{i=1}^N y_i & \sum_{i=1}^N i
 \end{array}$$

$$N (10^3)^4 = N 10^{12}$$

N

Normalizzazione

Centering factors:

$$x_m = \min_{i=1}^N \{x_i\}$$

$$y_m = \min_{i=1}^N \{y_i\}$$

Scaling factors:

$$s_x = \frac{\max_{i=1}^N \{x_i\} - \min_{i=1}^N \{x_i\}}{2}$$

$$s_y = \frac{\max_{i=1}^N \{y_i\} - \min_{i=1}^N \{y_i\}}{2}$$

Affine transformation

$$\hat{x} = \frac{x - x_m}{s_x} - 1 \quad \hat{y} = \frac{y - y_m}{s_y} - 1$$

$$\mathbf{S} = \mathbf{D}^T \mathbf{D} = \begin{pmatrix}
 \sum_{i=1}^N x_i^4 & \sum_{i=1}^N x_i^3 y_i & \sum_{i=1}^N x_i^2 y_i^2 & \sum_{i=1}^N x_i^3 & \sum_{i=1}^N x_i^2 y_i & \sum_{i=1}^N x_i^2 \\
 \sum_{i=1}^N x_i^3 y_i & \sum_{i=1}^N x_i^2 y_i^2 & \sum_{i=1}^N x_i^3 y_i & \sum_{i=1}^N x_i^2 y_i & \sum_{i=1}^N x_i y_i^2 & \sum_{i=1}^N x_i y_i \\
 \sum_{i=1}^N x_i^2 y_i^2 & \sum_{i=1}^N x_i^3 y_i & \sum_{i=1}^N y_i^4 & \sum_{i=1}^N x_i y_i^2 & \sum_{i=1}^N y_i^3 & \sum_{i=1}^N y_i^2 \\
 \sum_{i=1}^N x_i^3 & \sum_{i=1}^N x_i^2 y_i & \sum_{i=1}^N x_i y_i^2 & \sum_{i=1}^N x_i^2 & \sum_{i=1}^N x_i y_i & \sum_{i=1}^N x_i \\
 \sum_{i=1}^N x_i^2 y_i & \sum_{i=1}^N x_i y_i^2 & \sum_{i=1}^N y_i^3 & \sum_{i=1}^N x_i y_i & \sum_{i=1}^N y_i^2 & \sum_{i=1}^N y_i \\
 \sum_{i=1}^N x_i^2 & \sum_{i=1}^N x_i y_i & \sum_{i=1}^N y_i^2 & \sum_{i=1}^N x_i & \sum_{i=1}^N y_i & \sum_{i=1}^N 1
 \end{pmatrix}$$

$\mathbf{N} (1)^4 = \mathbf{N}$

\mathbf{N}



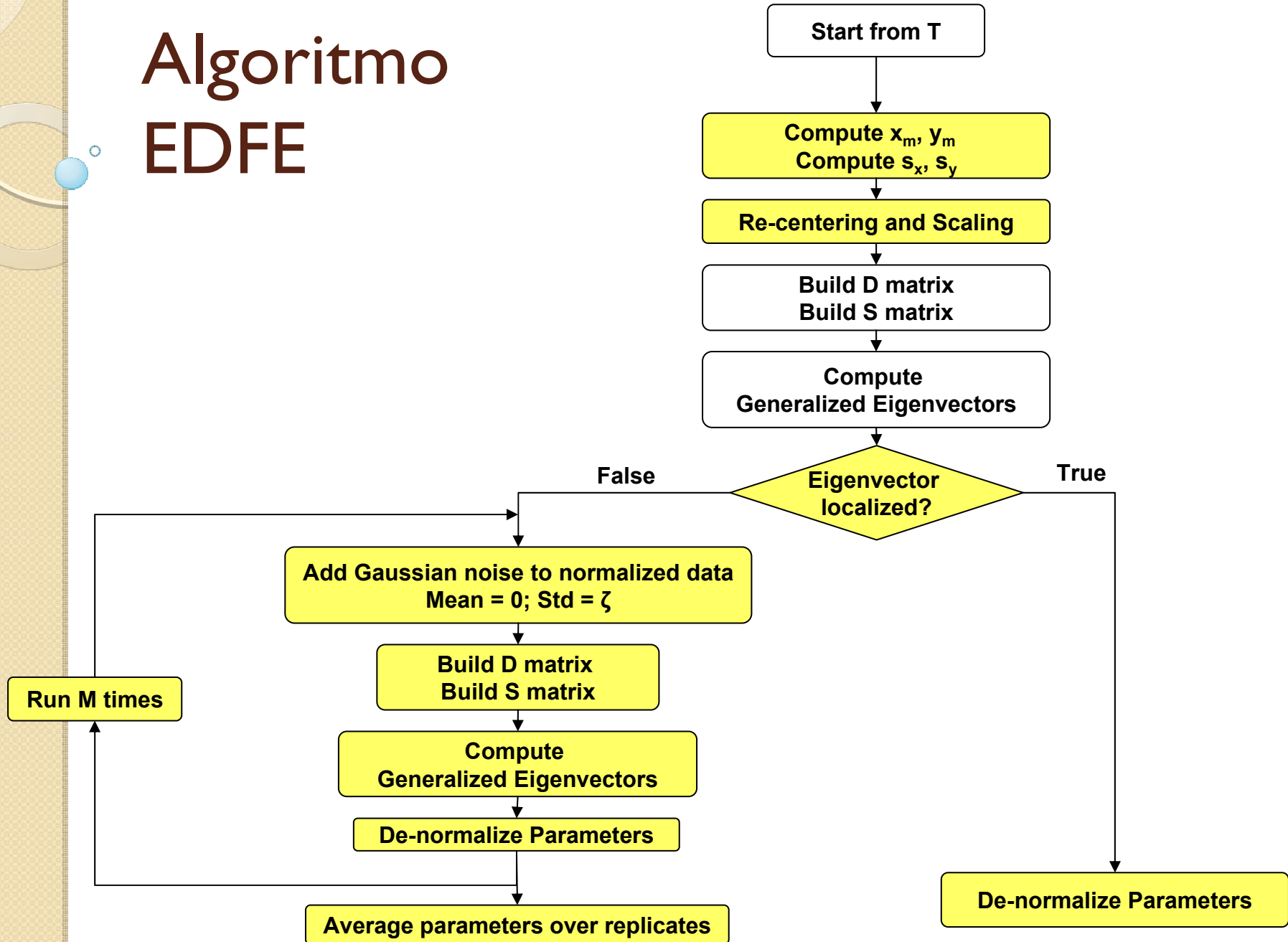
Attenzione alla soluzione “ideale”

- Punti esattamente sull'ellisse \Rightarrow determinante di S nullo

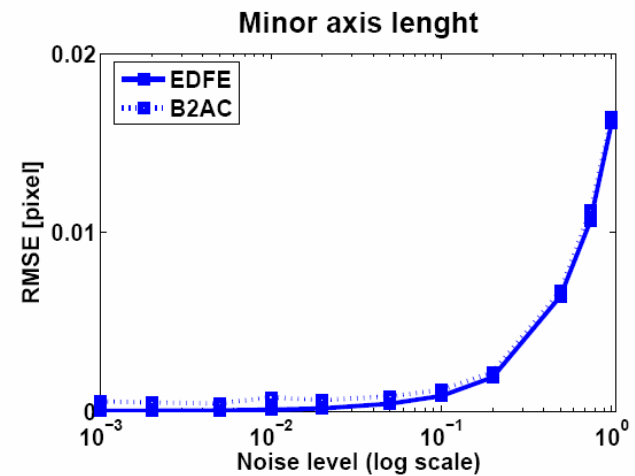
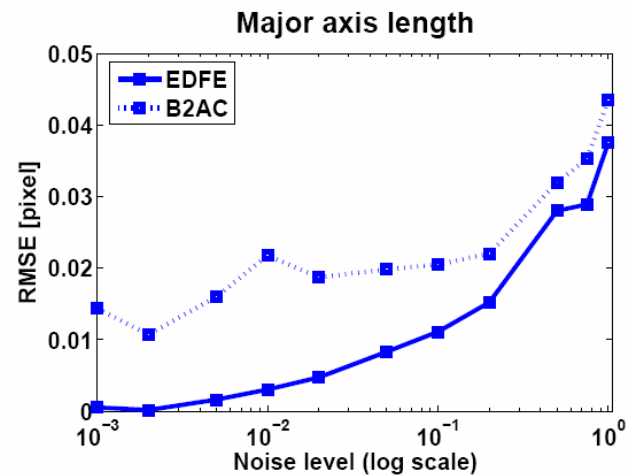
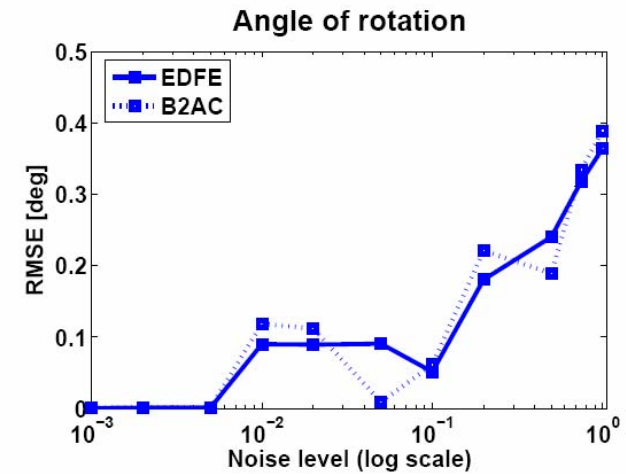
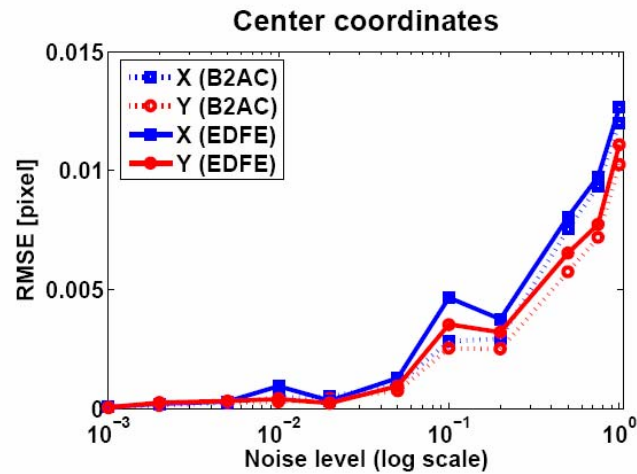
Soluzione

- Se necessario introduco piccole quote di rumore su dati e ripeto più volte il calcolo della soluzione
- La soluzione finale è la media delle soluzioni trovate in tutti i passi precedenti

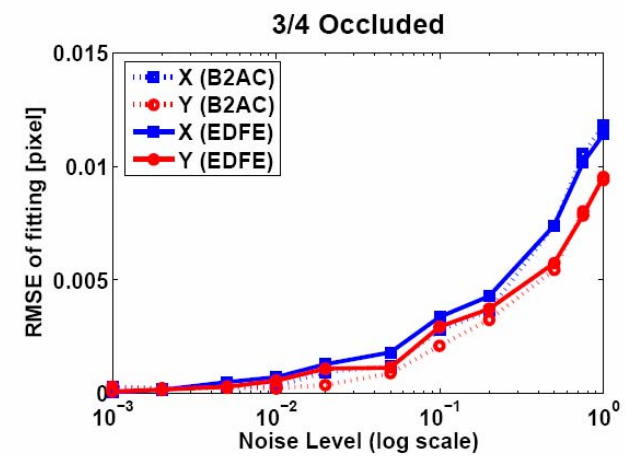
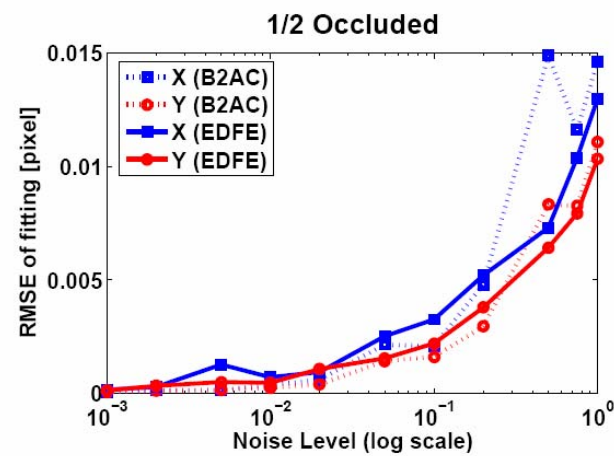
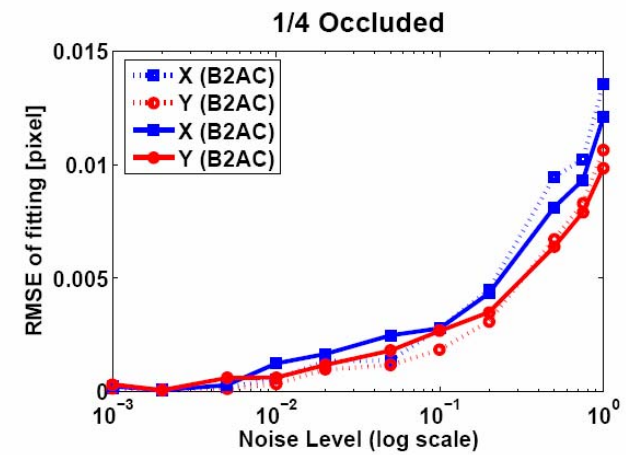
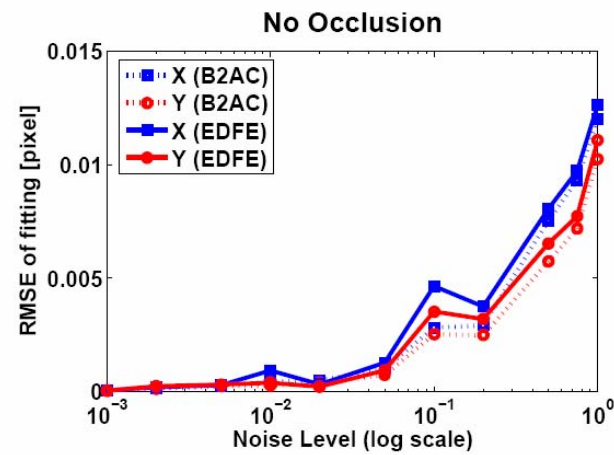
Algoritmo EDFE



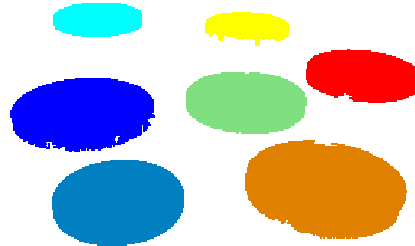
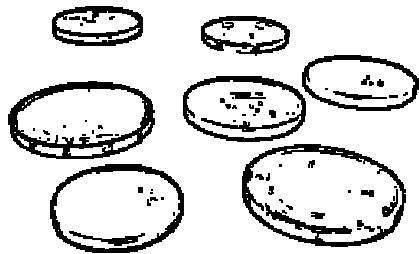
Risultati dati simulati



Risultati dati simulati



Risultati scena reale



#1

Center position [x,y] : **[69.9849 , 108.5173]**

Principal axis rotation (deg) : **-3.9001**

Major axis length (pixel) : **48.9353**

Minor axis length (pixel) : **24.1162**

#2

Center position [x,y] : **[94.5038 , 172.0267]**

Principal axis rotation (deg) : **-5.0783**

Major axis length (pixel) : **46.9288**

Minor axis length (pixel) : **29.5247**

#3

Center position [x,y] : **[80.4714 , 43.3702]**

Principal axis rotation (deg) : **-1.0271**

Major axis length (pixel) : **32.2435**

Minor axis length (pixel) : **12.6023**

#4

Center position [x,y] : **[184.4672 , 101.6561]**

Principal axis rotation (deg) : **3.1571**

Major axis length (pixel) : **43.3788**

Minor axis length (pixel) : **21.7222**

#5

Center position [x,y] : **[185.5677 , 49.3819]**

Principal axis rotation (deg) : **3.2145**

Major axis length (pixel) : **30.5327**

Minor axis length (pixel) : **11.9083**

#6

Center position [x,y] : **[240.2718 , 162.1727]**

Principal axis rotation (deg) : **9.2962**

Major axis length (pixel) : **57.4923**

Minor axis length (pixel) : **34.0158**

#7

Center position [x,y] : **[266.3417 , 83.2969]**

Principal axis rotation (deg) : **5.7453**

Major axis length (pixel) : **41.4882**

Minor axis length (pixel) : **18.1594**

Maggiori dettagli

International Journal of Pattern Recognition
and Artificial Intelligence
Vol. 20, No. 6 (2006) 939–953
© World Scientific Publishing Company



ENHANCED DIRECT LEAST SQUARE FITTING OF ELLIPSES

ELISEO STEFANO MAINI

ARTS Lab — Scuola Superiore Sant' Anna, Polo Sant' Anna Valdera

Viale R. Piaggio, 34 — 56025 Pontedera, Italy

es.maini@ieee.org

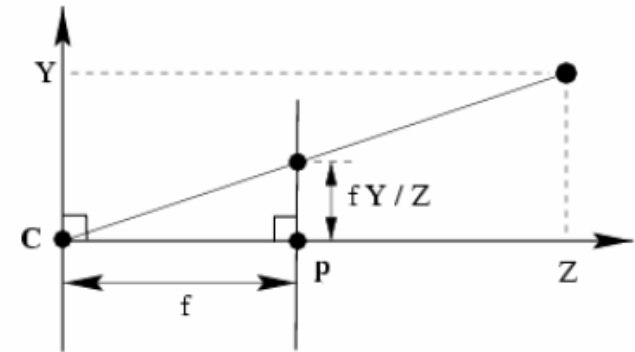
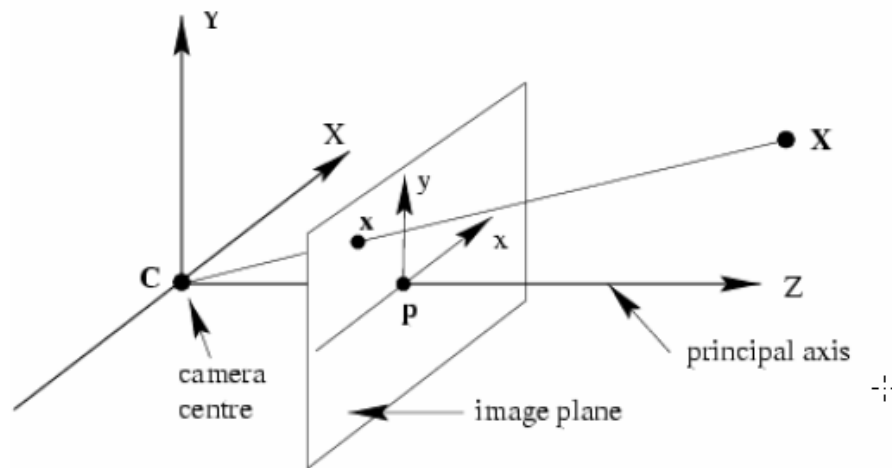


Visione 3D

Spazio 3D e piano immagine

- Proiezione prospettica (già vista!)

$$\begin{cases} x' = f \frac{x}{z} \\ y' = f \frac{y}{z} \end{cases}$$

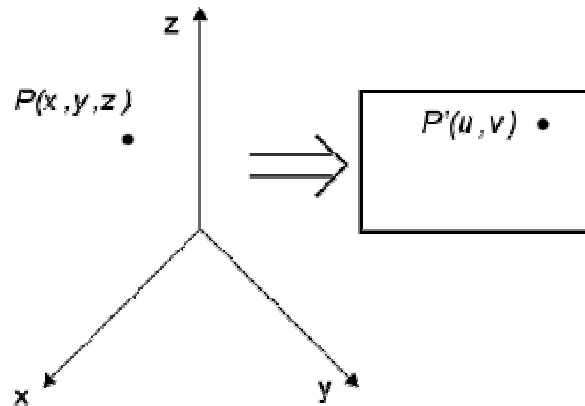


Un punto nello spazio $\mathbf{X}=(x,y,z)$ è mappato in un punto sul piano dell'immagine corrispondente all'intersezione della retta passante per il punto \mathbf{X} ed il centro di proiezione con il piano dell'immagine.

$$(X, Y, Z)^T \text{ a } (fX/Z, fY/Z)$$

Mapping punti scena – punti immagine

- Ci si chiede se sia possibile operare una trasformazione inversa, ovvero a partire dai punti di un'immagine, ricavare informazioni sui punti corrispondenti nello spazio.



Risposta SI però:

- La proiezione operata da una telecamera comporta un'inevitabile perdita d'informazione: infatti il passaggio da un punto dello spazio tridimensionale ad un punto dell'immagine bidimensionale, prevede la perdita di una coordinata, quella che tiene conto della profondità.
- Per cui in un ipotetico passaggio inverso si ha il problema di recuperare l'informazione relativa a questa coordinata "smarrita".
- Questo problema viene superato da una tecnica nota come *stereopsi*.

Ricostruzione 3D

$$x_1 = \frac{(x-d)f}{f-z} \quad (f-z)x_1 = (x-d)f$$

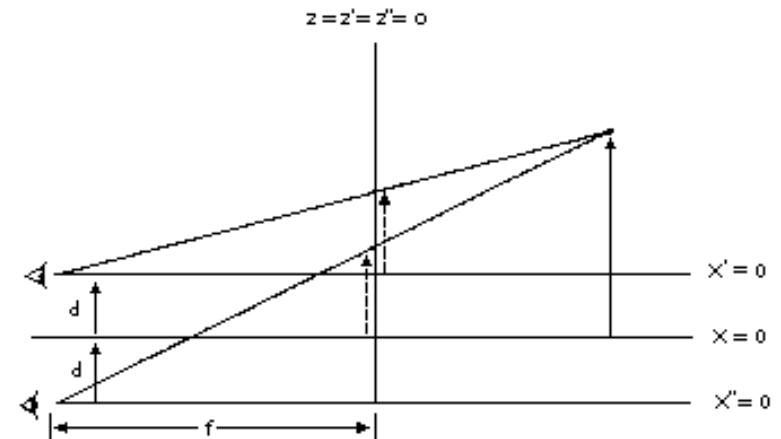
$$x_2 = \frac{(x+d)f}{f-z} \quad (f-z)x_2 = (x+d)f$$

$$(f-z)(x_2 - x_1) = 2df$$

Disparità

$$z = f - \frac{2df}{x_2 - x_1}$$

Sistema binoculare non convergente

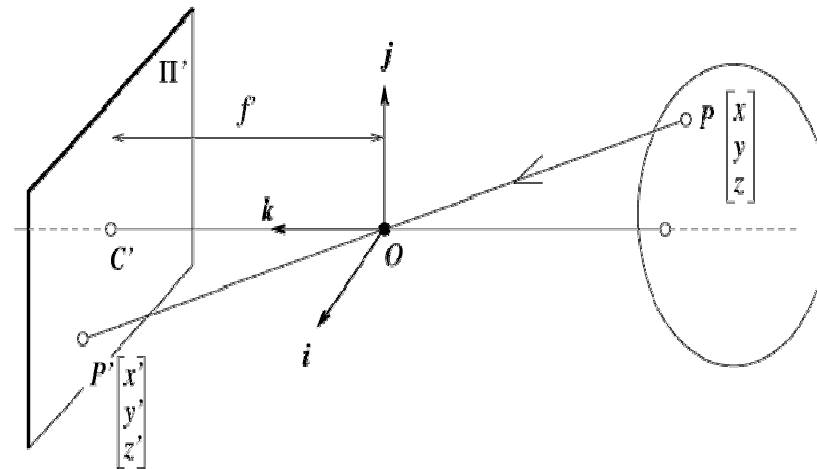


- la calibrazione è il punto di partenza obbligato, e quanto più preciso sarà il processo che ricava i parametri della telecamera, quanto più robusto ed efficiente sarà il funzionamento del sistema finale.

La calibrazione della telecamera

Tre diversi sistemi di riferimento:

1. il sistema di riferimento 3d detto anche *sistema mondo*;
2. il sistema di riferimento standard 3d della telecamera, centrato in C ;
3. il sistema di riferimento 2d per l'immagine.



- $X = (X; Y; Z)$ coordinate del punto P nel sistema mondo;
- $XC = (XC; YC; ZC)$ coordinate del punto P nel sistema della camera;
- $x = (x; y)$ coordinate del punto P nel sistema dell'immagine;
- $w = (u; v)$ coordinate del punto P nel sistema dell'immagine digitale.



Passi fondamentali

- **Identificare la trasformazione:**
Sistema mondo \Rightarrow sistema della telecamera
(rototraslazione)
- **Identificare la trasformazione:**
Sistema di della telecamera \Rightarrow sistema
dell'immagine (eq. prospettica)
- **Identificare la trasformazione:**
Coordinate dell'immagine $(x; y) \Rightarrow$ coordinate
in pixel $(u; v)$

Analiticamente

- **Passo 1**

$$\hat{X}_C = P_R \hat{X}$$

$$\begin{bmatrix} X_C \\ Y_C \\ Z_C \\ 1 \end{bmatrix} = \begin{bmatrix} r_{11} & r_{12} & r_{13} & t_x \\ r_{21} & r_{22} & r_{23} & t_y \\ r_{31} & r_{32} & r_{33} & t_z \\ 0 & 0 & 0 & 1 \end{bmatrix} \begin{bmatrix} X \\ Y \\ Z \\ 1 \end{bmatrix}$$

- **Passo 2**

$$\hat{x} = P_P \hat{X}_C$$

$$\begin{bmatrix} x \\ y \\ 1 \end{bmatrix} = \begin{bmatrix} \frac{-f}{Z_C} & 0 & 0 & 0 \\ 0 & \frac{-f}{Z_C} & 0 & 0 \\ 0 & 0 & 1 & 0 \end{bmatrix} \begin{bmatrix} X_C \\ Y_C \\ Z_C \\ 1 \end{bmatrix}$$

- **Passo 3**

$$\hat{w} = P_C \hat{x}$$

$$\begin{bmatrix} su \\ sv \\ s \end{bmatrix} = \begin{bmatrix} k_u & 0 & u_0 \\ 0 & k_v & v_0 \\ 0 & 0 & 1 \end{bmatrix} \begin{bmatrix} sx \\ sy \\ s \end{bmatrix}$$

- $X = (X; Y; Z)$ coordinate del punto P nel sistema mondo;
- $X_C = (X_C; Y_C; Z_C)$ coordinate del punto P nel sistema della camera;
- $x = (x; y)$ coordinate del punto P nel sistema dell'immagine;
- $w = (u; v)$ coordinate del punto P nel sistema dell'immagine digitale.

$$\hat{w} = P_C P_P P_R \hat{X}$$

In pratica

$$\hat{w} = P_C P_P P_R \hat{X} \quad \text{Fattorizzazione } P_C P_P$$

$$\hat{w} = P_{CP} P_R \hat{X} = \begin{bmatrix} -fk_u & 0 & u_0 & 0 \\ 0 & -fk_v & v_0 & 0 \\ 0 & 0 & 1 & 0 \end{bmatrix} \begin{bmatrix} r_{11} & r_{12} & r_{13} & t_x \\ r_{21} & r_{22} & r_{23} & t_y \\ r_{31} & r_{32} & r_{33} & t_z \\ 0 & 0 & 0 & 1 \end{bmatrix} \hat{X}$$

Pongo inoltre

$$P_{CP} = K [I \mid 0] \quad \text{con } K = \begin{bmatrix} -fk_u & 0 & u_0 \\ 0 & -fk_v & v_0 \\ 0 & 0 & 1 \end{bmatrix}$$

$$P_R = \begin{bmatrix} R & t \\ 0 & 1 \end{bmatrix} \quad \text{con } R = \begin{bmatrix} r_{11} & r_{12} & r_{13} \\ r_{21} & r_{22} & r_{23} \\ r_{31} & r_{32} & r_{33} \end{bmatrix} \quad \text{e } t = \begin{bmatrix} t_x \\ t_y \\ t_z \end{bmatrix}$$

Allora risulta

$$\hat{w} = K [I \mid 0] \begin{bmatrix} R & t \\ 0 & 1 \end{bmatrix} \hat{X} = K [R \mid t] \hat{X} = P \hat{X}$$

P è detta

MATRICE di PROIEZIONE PROSPETTICA



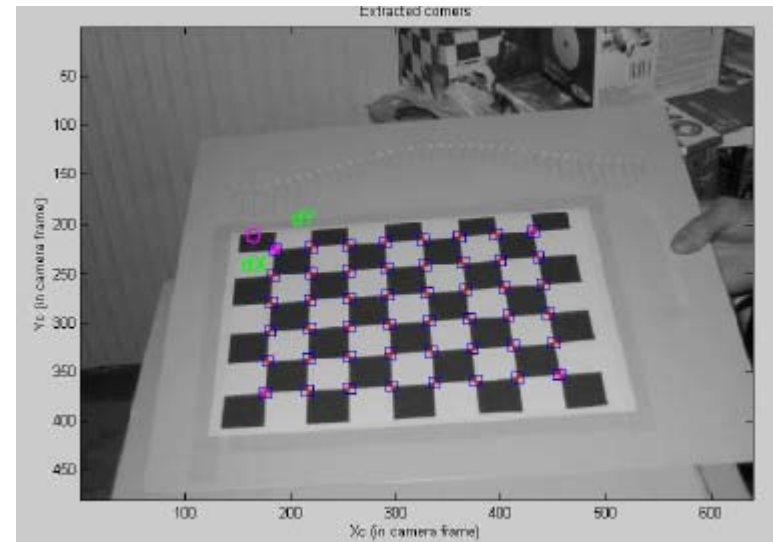
Matrice di Proiezione Prospettica (MPP)

- *MPP* rappresenta il modello geometrico della telecamera.
- E' una matrice 3x4, ma dipende da 11 parametri indipendenti.
- La matrice $[R|t]$ incorpora sia la rotazione che la traslazione del sistema mondo rispetto a quello della telecamera. Si dice che tale matrice contiene i **parametri estrinseci** della telecamera.
- Nella matrice K si puo' porre $a_u = -f k_u$ e $a_v = -f k_v$. Si tratta della **lunghezza focale espressa in pixel** orizzontali e verticali.
- Queste due grandezze, assieme a u_0 e v_0 rappresentano i **parametri intrinseci** della telecamera.
- Questi due insiemi di parametri caratterizzano completamente la telecamera.

La calibrazione è quel processo che permette di determinare le matrici dei parametri intrinseci ed estrinseci di una telecamera.

Calibrazione pratica

- E' necessario munirsi di un oggetto di calibrazione (geometria nota)
- una buona scelta è rappresentata da una scacchiera.
 - quadrati di lato noto
 - colore alterno (estrazione dei contorni semplice)
- In teoria, dato che *MPP* dipende da 11 parametri, sarebbero necessari 6 soli punti per poter calibrare la telecamera,
 - nella pratica ne sono disponibili molti di più.



Calibrazione pratica

1. Ottenere le coordinate dei corner nell'immagine digitale
2. Creare una tabella di corrispondenze

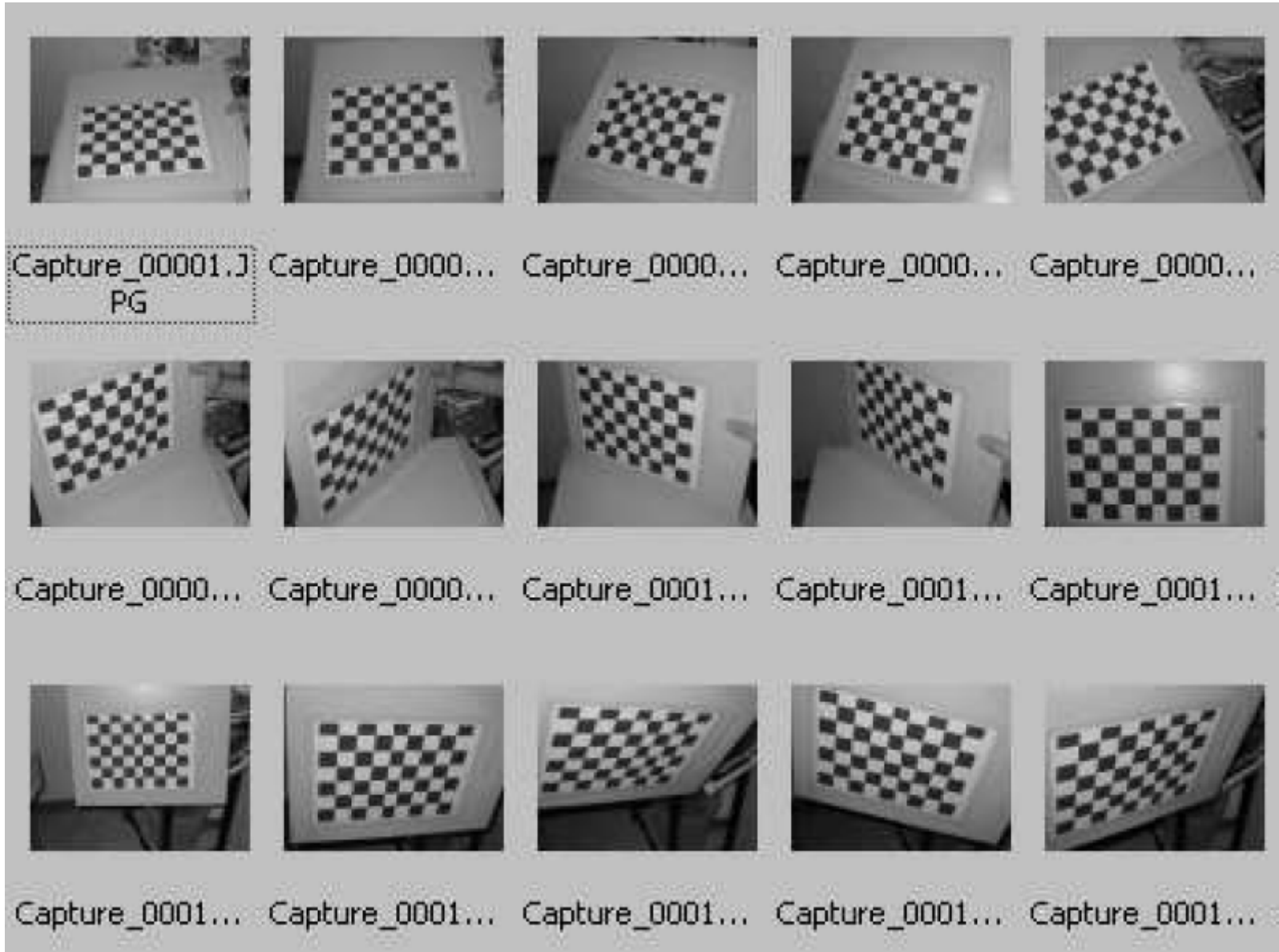
Punto	Sistema mondo	Sistema immagine
1	(X_1, Y_1, Z_1)	(u_1, v_1)
2	(X_2, Y_2, Z_2)	(u_2, v_2)
...
n	(X_n, Y_n, Z_n)	(u_n, v_n)

3. Si sfrutta la relazione $\hat{\mathbf{w}}_i = \mathbf{P}\hat{\mathbf{X}}_i = \begin{bmatrix} p_{11} & p_{12} & p_{13} & p_{14} \\ p_{21} & p_{22} & p_{23} & p_{24} \\ p_{31} & p_{32} & p_{33} & p_{34} \end{bmatrix} \hat{\mathbf{X}}_i$
da cui

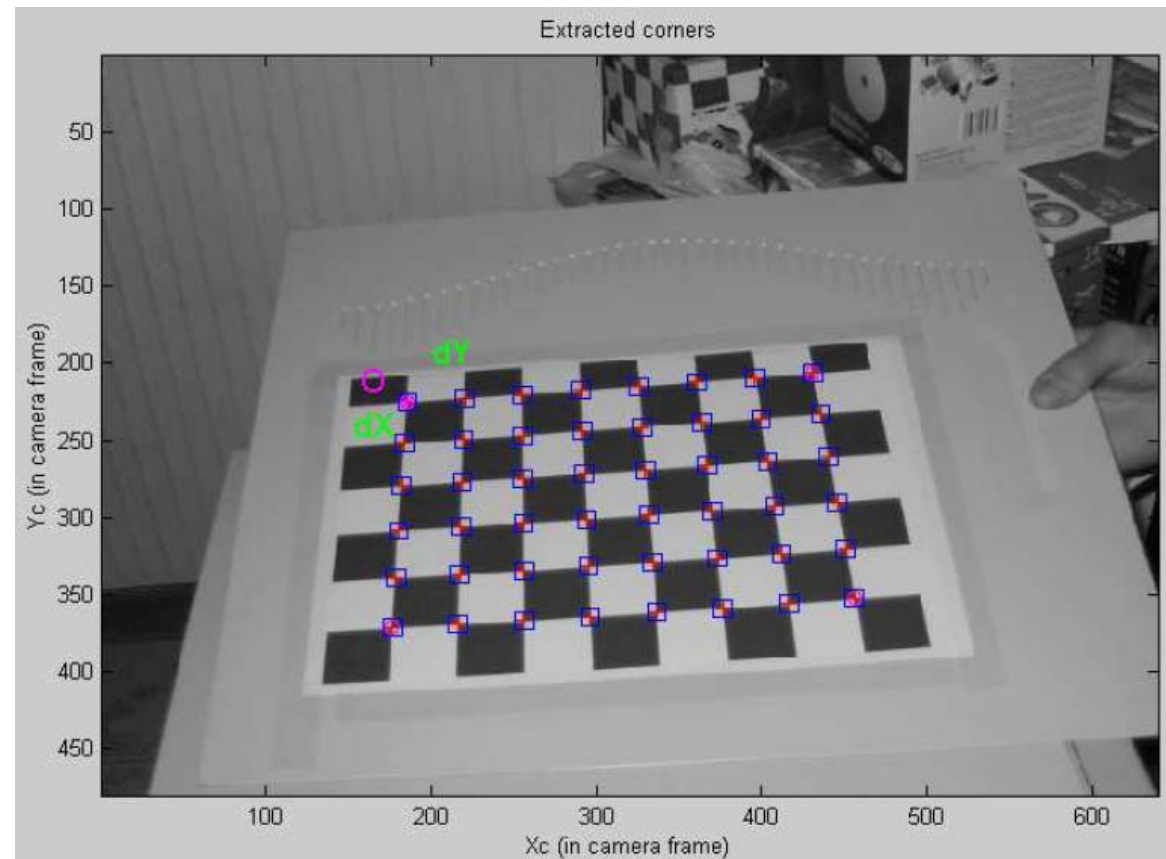
$$u_i = \frac{p_{11}X_i + p_{12}Y_i + p_{13}Z_i + p_{14}}{p_{31}X_i + p_{32}Y_i + p_{33}Z_i + p_{34}} \quad \text{e} \quad v_i = \frac{p_{21}X_i + p_{22}Y_i + p_{23}Z_i + p_{24}}{p_{31}X_i + p_{32}Y_i + p_{33}Z_i + p_{34}}$$

4. Per ogni punto della tabella si scrive una coppia di equazioni.
5. Dato che i punti sono in numero maggiore di 6 ci si trova a dover risolvere un sistema lineare sovradeterminato, (le equazioni sono in numero maggiore delle incognite).
6. La soluzione può essere ricavata utilizzando il metodo dei *minimi quadrati*.
7. Metodi iterativi per il raffinamento della soluzione $\min_P \sum ((u_i - \bar{u}_i)^2, (v_i - \bar{v}_i)^2)$
8. Decomposizione QR della matrice (intrinseci ed estrinseci)

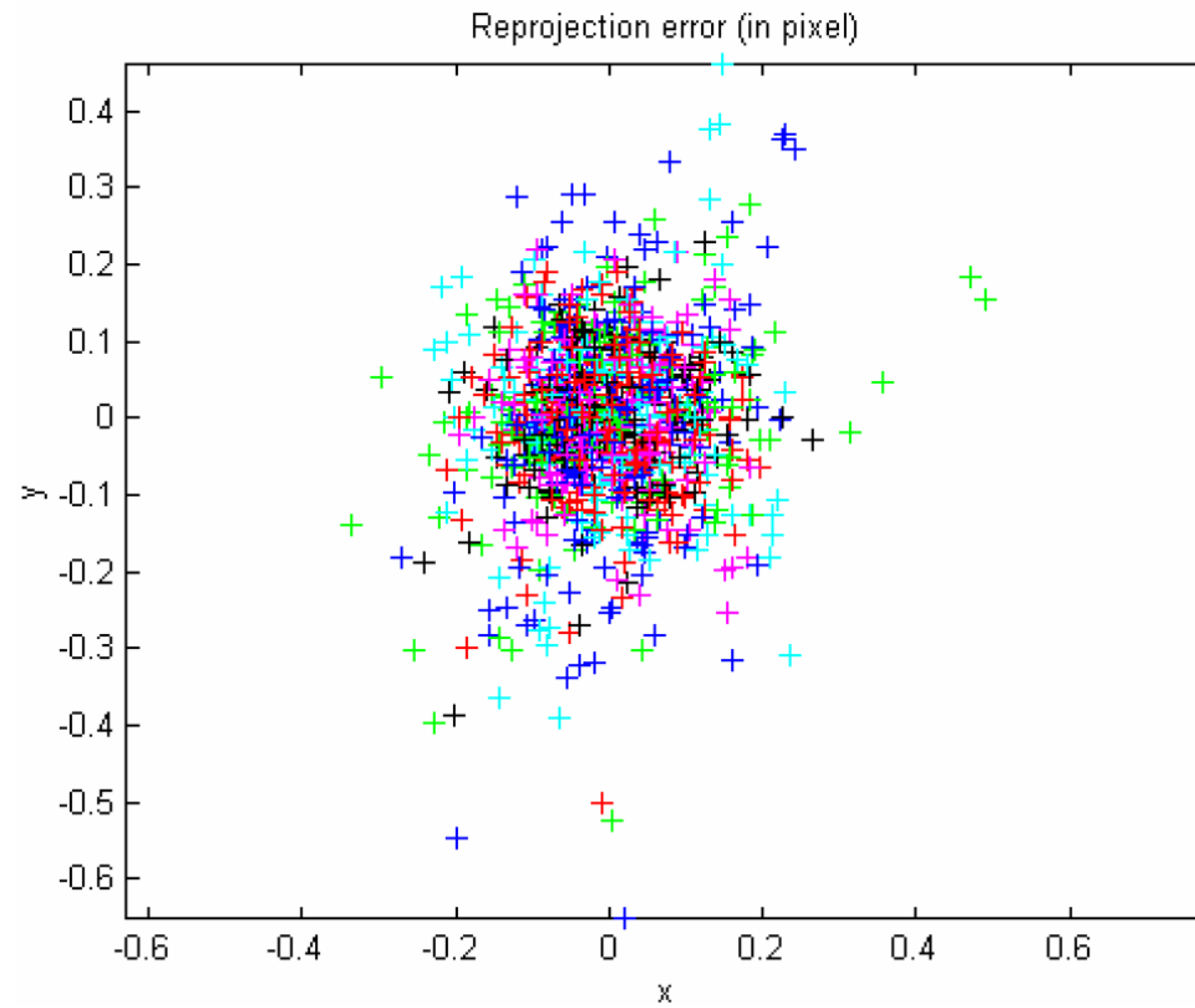
Sequenza immagini - Robustezza



Estrazione contorni

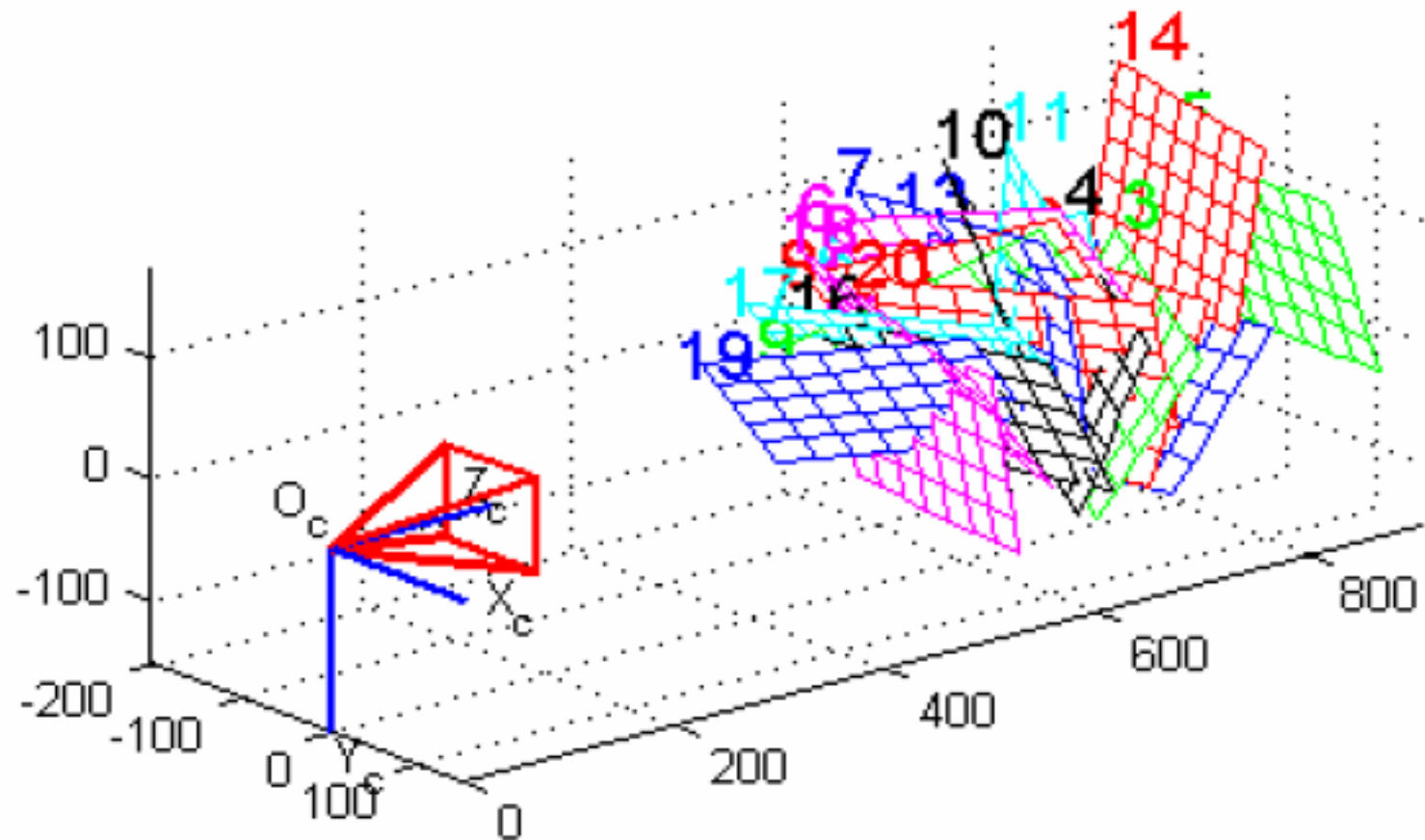


Errore di riproiezione

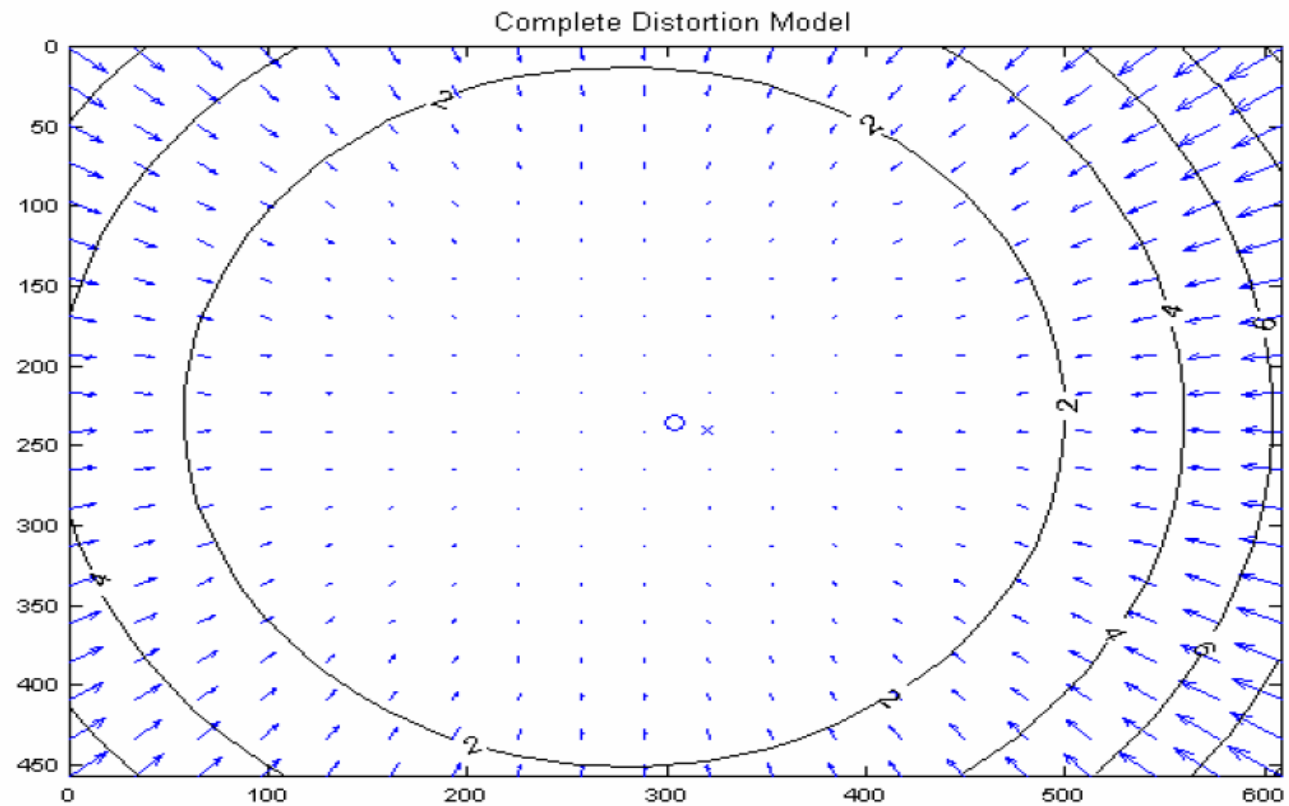


Parametri estrinseci

Extrinsic parameters (camera-centered)



Stima distorsione



Pixel error = [0.0976, 0.1119]
Focal Length = (948.228, 947.537)
Principal Point = (302.509, 234.682)
Skew = 0.001167
Radial coefficients = (-0.1854, 0.263, 0)
Tangential coefficients = (-0.0005125, -0.003946)

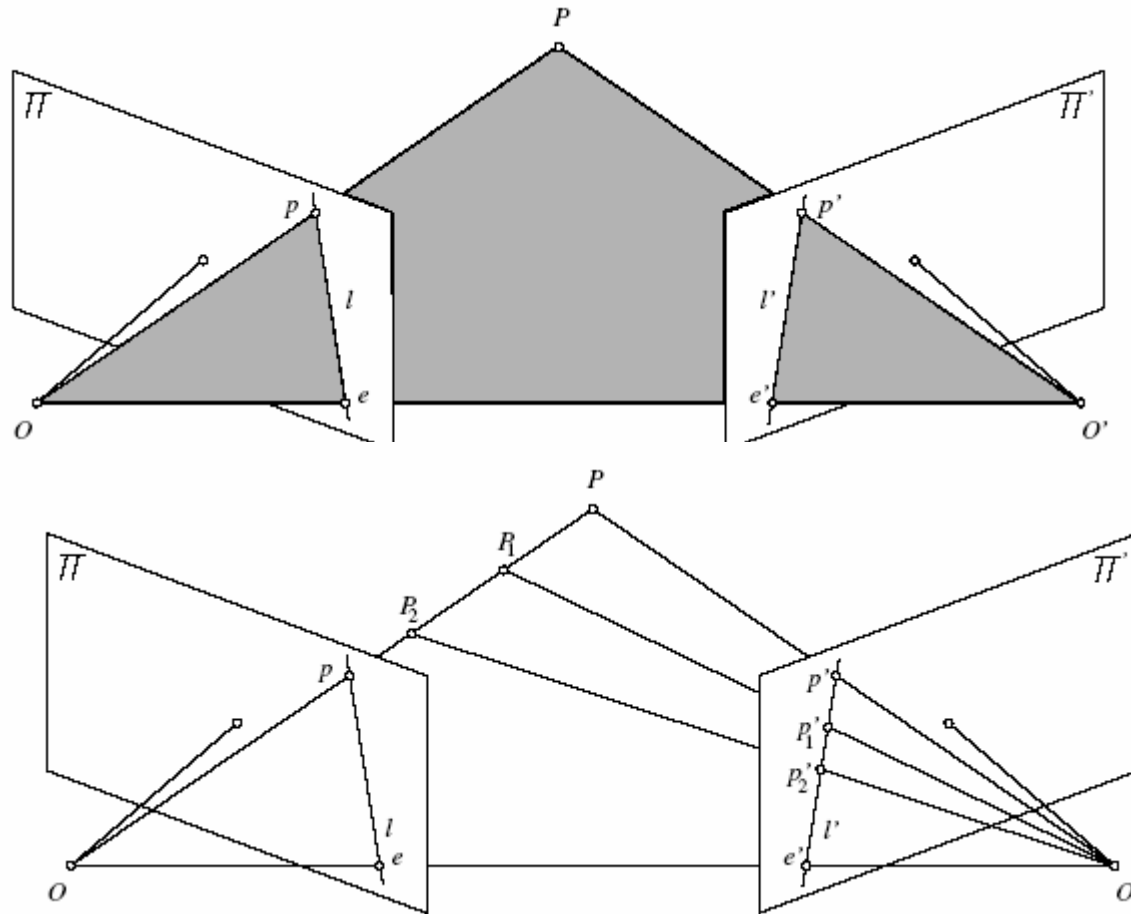
+/- [1.91, 1.951]
+/- [3.906, 3.021]
+/- 0.0005497
+/- [0.01487, 0.175, 0]
+/- [0.0006858, 0.000806]

2 Telecamere : problema del matching

- Date due telecamere trovare la corrispondenza di punti omologhi su due diverse immagini

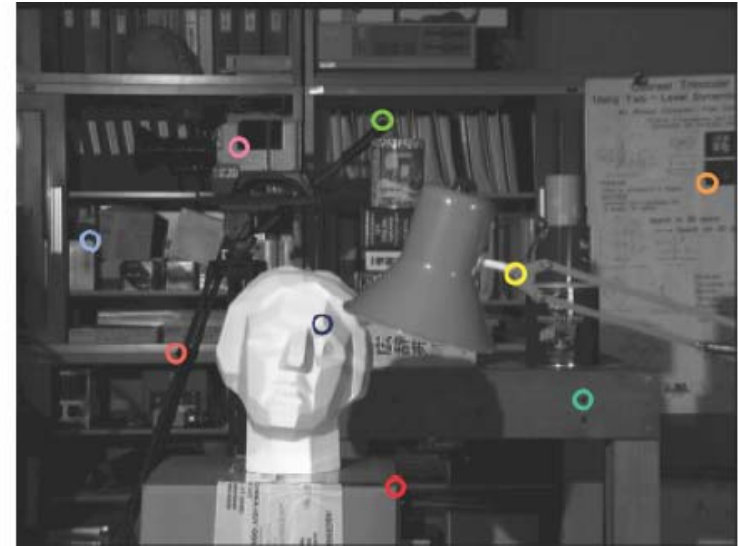


2 Telecamere – Geometria epipolare



Vincolo epipolare: dato un sistema stereo calibrato l'insieme dei punti di matching di p è vincolato a giacere sulla linea epipolare l'

Mappa delle disparità





Ricostruzione stereo

1. Calibrare la I telecamera
2. Calibrare la II telecamera
3. Calcolare la rototraslazione tra i sistemi di riferimento delle 2 telecamere
4. Determinare le corrispondenze tra punti (vincolo epipolare)
5. Costruire una mappa delle disparità
6. Ricostruire la posizione 3D dei punti di interesse usando la disparità e i parametri delle telecamere